

Министерство образования и науки Российской Федерации
Федеральное государственное бюджетное образовательное учреждение
высшего образования
ИРКУТСКИЙ НАЦИОНАЛЬНЫЙ ИССЛЕДОВАТЕЛЬСКИЙ
ТЕХНИЧЕСКИЙ УНИВЕРСИТЕТ

Институт информационных технологий и анализа данных

наименование института

ОТЧЕТ ПО ЛАБОРАТОРНОЙ РАБОТЕ № 4
по дисциплине:
ТЕОРИЯ АВТОМАТИЧЕСКОГО УПРАВЛЕНИЯ
«**Качество процессов регулирования**»

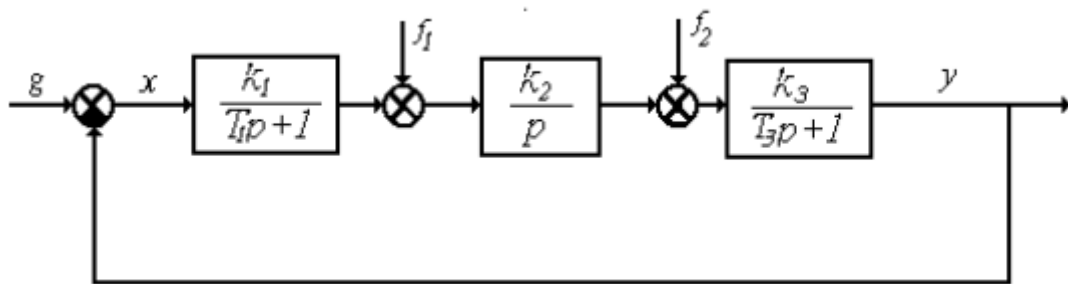
Выполнил	АСУБ-20-2		Арбакова А.В.
	шифр группы	подпись	Фамилия И.О.
Проверил			Осипова Е.А.
	должность	подпись	Фамилия И.О.

Иркутск 2022 г.

Цель работы: Ознакомление с показателями качества процессов, протекающих в автоматических системах; принцип суперпозиции в линейных автоматических системах; астатизм автоматических систем; точки приложения входных воздействий в автоматических системах.

Вариант: 4

1. Заданная структурная схема автоматической системы с заданными значениями параметров.



k1	3,25
k2	3,5
k3	1,3
T1	0,025
T3	0,1

2. Изложение процесса исследования заданной автоматической системы на устойчивость и результаты исследования.

Передаточная функция замкнутой автоматической системы имеет вид:

$$W_{\text{зам}}(p) = \frac{W_1(p) \times W_2(p) \times W_3(p)}{1 + W_1(p) \times W_2(p) \times W_3(p)}$$

для нашей системы примет следующий вид:

$$W_{\text{зам}}(p) = \frac{\frac{k_1}{(T_1 p + 1)} \times \frac{k_2}{(p)} \times \frac{k_3}{(T_3 p + 1)}}{1 + \frac{k_1}{(T_1 p + 1)} \times \frac{k_2}{(p)} \times \frac{k_3}{(T_3 p + 1)}} =$$

$$= \frac{\frac{k_1 k_2 k_3}{(T_1 T_3 p^3 + T_3 p^2 + T_1 p^2 + p)}}{\frac{T_1 T_3 p^3 + T_3 p^2 + T_1 p^2 + p + k_1 k_2 k_3}{(T_1 T_3 p^3 + T_3 p^2 + T_1 p^2 + p)}} =$$

$$= \frac{k_1 k_2 k_3}{T_1 T_3 p^3 + T_3 p^2 + T_1 p^2 + p + k_1 k_2 k_3} =$$

$$= \frac{k_1 k_2 k_3}{T_1 T_3 p^3 + (T_1 + T_3) p^2 + p + k_1 k_2 k_3}$$

Используя замену:

$$a_0 = T_1 T_3$$

$$a_1 = T_1 + T_3$$

$$a_2 = 1$$

$$a_3 = k_1 k_2 k_3$$

Получим:

$$W_{\text{зам}}(p) = \frac{k_1 k_2 k_3}{a_0 p^3 + a_1 p^2 + a_2 p + a_3} =$$

Исследуем систему на устойчивость с помощью критерия Михайлова:

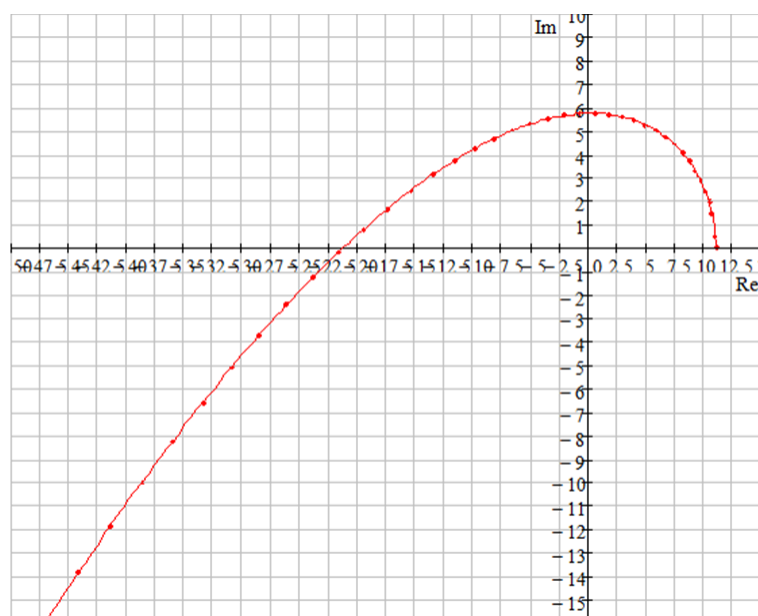
$$a_0 p^3 + a_1 p^2 + a_2 p + a_3$$

$$p \rightarrow j\omega$$

$$a_0 j\omega^3 + a_1 j\omega^2 + a_2 j\omega + 1 + k$$

$$-a_0 j\omega^3 - a_1 j\omega^2 + a_2 j\omega + 1 + k$$

$$-a_1 \omega^2 + 1 + k + j(a_2 \omega - a_0 \omega^3)$$



По критерию Михайлова, чтобы система автоматического управления была устойчива, необходимо и достаточно, чтобы кривая Михайлова при изменении частоты ω от 0 до ∞ , обходила только против часовой стрелки последовательно n квадрантов координатной плоскости.

Видим, что критерий Михайлова выполняется (кривая последовательно проходит 3 квадранта против часовой стрелки), а значит система устойчива.

3. Изложение процесса проверки выполнения (не выполнения) принципа суперпозиции в заданной автоматической системе и результаты проверки.

Одна из основных особенностей линейных систем заключается в том, что к ним применим принцип суперпозиции, в соответствии с которым реакция системы на совокупность возмущений определяется суммой реакций на каждое возмущение, прикладываемое к системе в рассматриваемый момент времени.

Принцип суперпозиции: $y(x) = x, y(0.5x) + y(0.5x) = x$

Принцип суперпозиции применим в линейных системах:

График для $g(t) = 1, f_1(t) = 0, f_2 = 0$

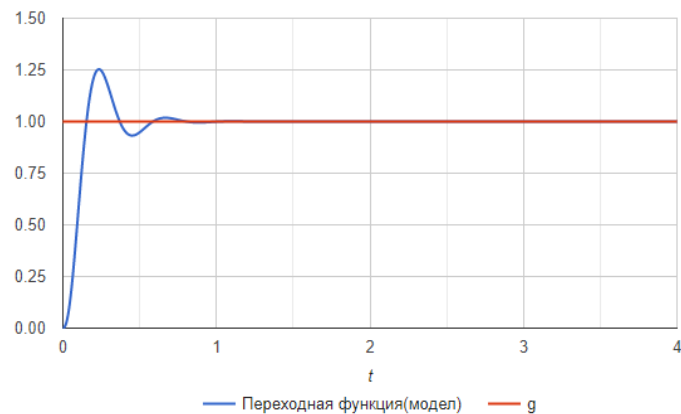
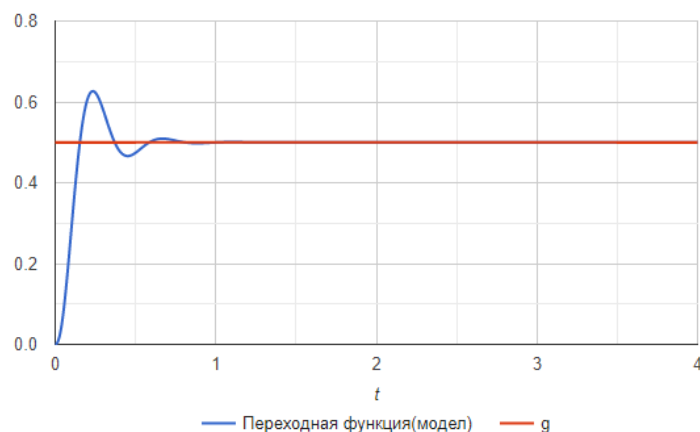


График для $g(t) = 0.5, f_1(t) = 0, f_2 = 0$



Из построенных выше графиков видим, что при изменении $g(t)$ с 1 на 0.5, значение коэффициента на графике изменилось в 2 раза, отсюда следует, что принцип суперпозиции выполняется.

4. Вычисление значения интегральной оценки качества аналитическим путем и сравнение со значением этой же интегральной оценки качества, вычисленное путем моделирования автоматической системы.

$$I = \int_0^{\infty} x^2(t) dt = \int_0^{\infty} (h_{уст} - h(t))^2 dt$$

$$W_{зам}(p) = \frac{k_1 k_2 k_3}{a_0 p^3 + a_1 p^2 + a_2 p + a_3}$$

$$H(p) = \frac{1}{p} \times W_{зам}(p) = \frac{k_1 k_2 k_3}{a_0 p^3 + a_1 p^2 + a_2 p + a_3} \times \frac{1}{p}$$

$$\begin{aligned} b_0 &= 0 & b_1 &= 0 & b_2 &= 0 & b_3 &= k_1 k_2 k_3 \\ a_0 &= T_1 T_3 & a_1 &= T_1 + T_3 & a_2 &= 1 & a_3 &= k_1 k_2 k_3 \end{aligned}$$

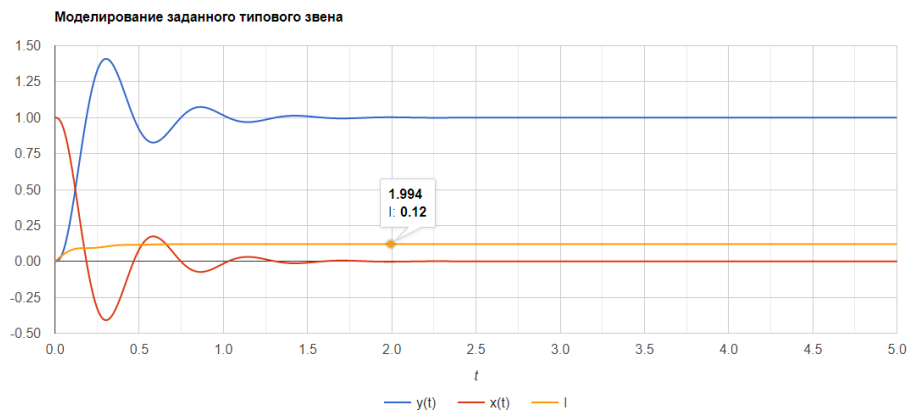
$$I = \frac{1}{2a_3^2 \Delta} (B_0 \Delta_0 + B_1 \Delta_1 + B_2 \Delta_2 + b_3 b_2 \Delta_0)$$

$$B_0 = b_3^2 = k_1^2 k_2^2 k_3^2 \quad B_1 = b_2^2 - 2b_1 b_3 = 0 \quad B_2 = b_1^2 = 0$$

$$\Delta = \begin{vmatrix} a_3 & -a_1 & 0 \\ 0 & a_2 & -a_0 \\ 0 & -a_3 & a_1 \end{vmatrix} = k_1 k_2 k_3 (T_1 + T_3) - (k_1 k_2 k_3)^2 (T_1 T_3)$$

$$\Delta_0 = \begin{vmatrix} a_2 & -a_1 & 0 \\ a_3 & a_2 & -a_0 \\ 0 & -a_3 & a_1 \end{vmatrix} = T_1 + T_3 + k_1 k_2 k_3 (T_1 + T_3)^2 - k_1 k_2 k_3 T_1 T_3$$

$$\begin{aligned} I &= \frac{B_0 \Delta_0}{2a_3^2 \Delta} = \frac{\Delta_0}{2\Delta} = \frac{T_1 + T_3 + k_1 k_2 k_3 (T_1 + T_3)^2 - k_1 k_2 k_3 T_1 T_3}{2(k_1 k_2 k_3 (T_1 + T_3) - T_1 T_3 (k_1 k_2 k_3)^2)} = \\ &= \frac{0.326775}{2.101} = 0.125599 \end{aligned}$$



Интегральная оценка, полученная при моделировании, равна 0.12, с долей погрешности равна оценке, полученной аналитически.

5. Доказательство того, что заданная автоматическая система обладает астатизмом первого порядка, но не обладает астатизмом второго, третьего порядков.

Система обладает астатизмом 0-порядка, если система, вынужденная ошибка которой в режиме отработки постоянного задающего воздействия пропорциональна величине этого воздействия.

$$\begin{aligned}
 W_{\text{замк}}(p) &= 1 - W_{\text{замк}}(p) \\
 W_{\text{замк}}(p) &= \frac{1}{1 + W_p} \\
 W_p(p) &= W_1 W_2 W_3 \\
 W_{\text{замк}}(p) &= \frac{(T_1 p + 1)p(T_3 p + 1)}{(T_1 p + 1)p(T_3 p + 1) + k_1 k_2 k_3} \\
 C_0 &= W_{\text{замк}}(p = 0) = \frac{0}{0 + k_1 k_2 k_3} = 0 \\
 x_{\text{уст}} \text{ при } t \rightarrow \infty \quad g(t) &= 1 \\
 x_{\text{уст}} &= C_0 \times t = 0
 \end{aligned}$$

Система обладает астатизмом 1 порядка.

Система обладает астатизмом 1-порядка, если система, вынужденная ошибка которой в режиме отработки постоянного задающего воздействия равна нулю, а при отработке линейно изменяющегося во времени задающего воздействия постоянна и пропорциональна.

$$\begin{aligned}
 \frac{dW_{\text{замк}}(p)}{dp} &= \frac{k'(p)(v - u)}{v^2} = \frac{k'(p)(k_1 k_2 k_3 - 0)}{k_1 k_2 k_3^2} \\
 K(p) &= T_1 T_3 p^3 - (T_1 + T_3)p^2 + p + 1 \\
 k'(p) &= 3T_1 T_3 p^2 + 2(T_1 + T_3)p + 1 \\
 D'(p) &= 3T_1 T_3 p^2 + 2(T_1 + T_3)p + 1 \\
 C_1 &= \frac{1}{k_1 k_2 k_3} = 0,0666 \neq 0 \\
 x_{\text{уст}} &= C_0 \times t + C_1 \times 1 + \frac{C_2}{2!} \times 0 = C_1 = 0,066
 \end{aligned}$$

Система не обладает астатизмом 2 порядка, следовательно, не обладает астатизмом 3 порядка.

$$x_{\text{уст}} = C_0 \times t^2 + C_1 \times 2t + \frac{C_2}{2!} \times 2 = 15,07$$

Система обладает астатизмом V-порядка, если система, вынужденная систематическая погрешность которой в режиме отработки воздействия, выраженного в виде полинома степени v от t , то есть воздействия, постоянна и пропорциональна.

6. Изложение процесса вычисления ошибки $x(\infty)$ и значения этой ошибки при $g(t)=1(t)$ и $g(t)=1(t) \times t$.

$$x_{уст} = C_0 g(t) + C_1 \frac{dg(t)}{dt} + \frac{C_2}{2!} \frac{d^2 g(t)}{dt^2}$$

$$C_0 = W_{замх}(p=0) = 0$$

$$C_1 = \frac{1}{k_1 k_2 k_3}$$

$$C_2 = \dots$$

$$g'(t) = 1(t) + t\delta(t) \quad \delta(t) = 0$$

$$x_{уст} = 0$$

$$g''(t) = \delta(t) + \delta(t) + t\delta'(t) \rightarrow 0$$

$$x_{уст} = 0 + \frac{1}{k_1 k_2 k_3} 1(t) = \frac{1}{k_1 k_2 k_3}$$

$$x_{уст} = 0,0909$$

7. Доказательство того, что при $g(t)=1(t) \times t^2$ ошибка $x(\infty) \neq \text{const}$.

$$g(t) = 1(t)t^2$$

$$g'(t) = 2t1(t) + t^2\delta(t)$$

$$g''(t) = 21(t) + 2t1(t) + 2t\delta'(t) + t^2\delta(t)$$

$$x_{уст} = \frac{1}{k_1 k_2 k_3} 2t + \frac{2C_2}{2!}$$

Система обладает астатизмом, если $\vec{x} = 0$

$$x_{уст} = C_0 g(t) + C_1 \frac{dg}{dt} + \frac{C_2}{2!} \frac{d^2 g}{dt^2}$$

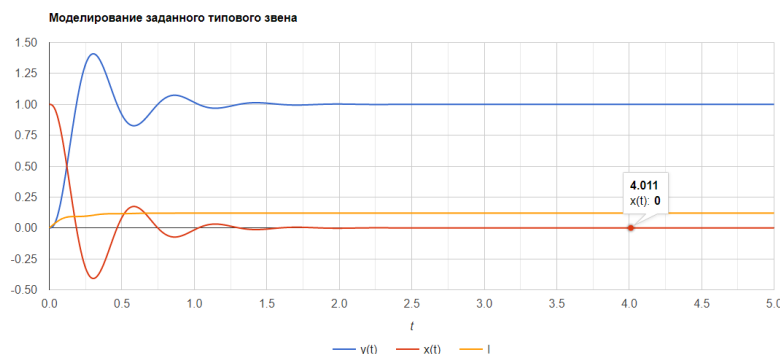
$$\text{при } g(t) = 1(t) \times t^2$$

$$x_{уст} = C_0 t^2 + 2C_1 t + 2C_2 = 2C_1 t + 2C_2$$

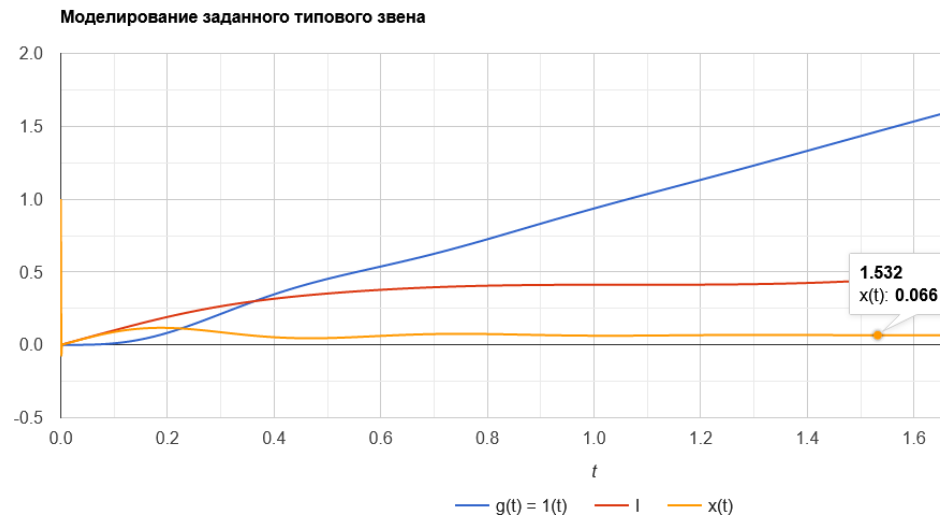
Видим, что при коэффициенте C_1 стоит t , значит ошибка зависит от времени.

8. Результаты моделирования заданной автоматической системы при задающем воздействии $g(t)=1(t)$; $g(t)=1(t) \times t$; $g(t)=1(t) \times t^2$.

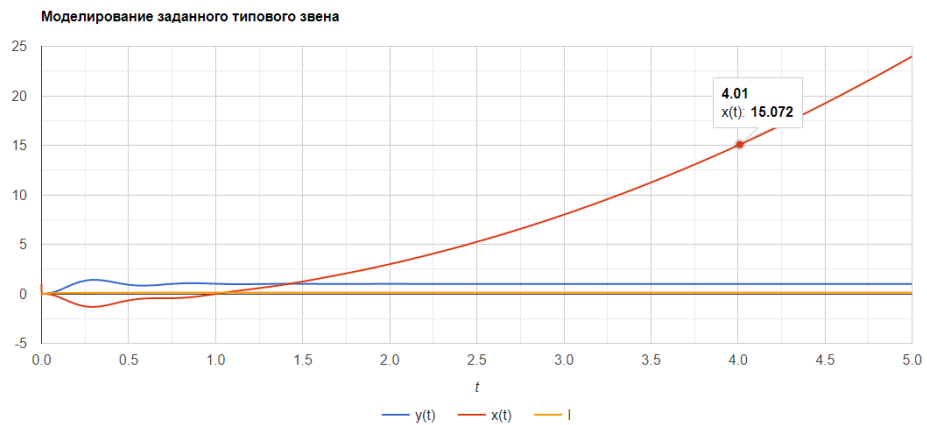
$$g(t)=1(t)$$



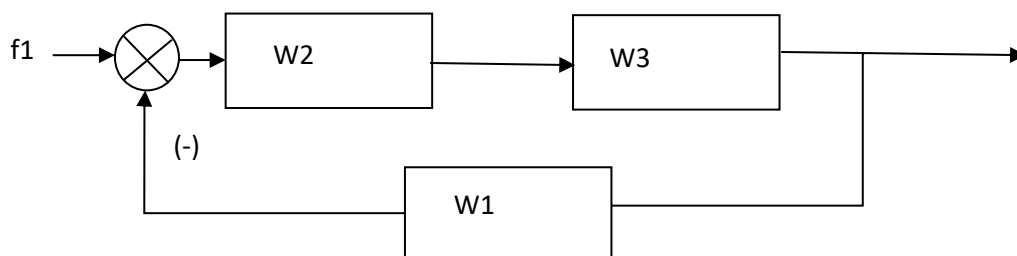
$$g(t)=1(t)\times t$$



$$g(t)=1(t)\times t^2$$

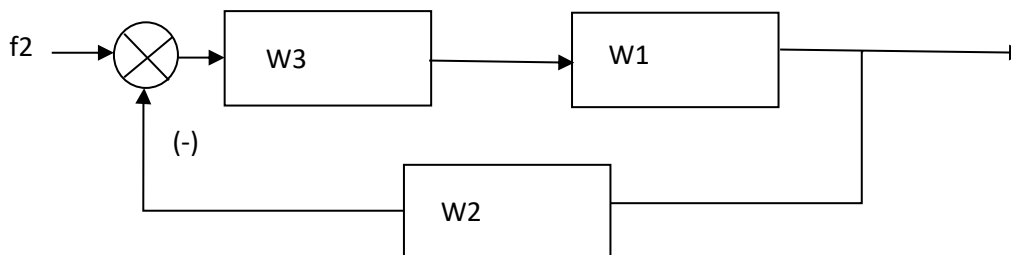


9. Изложение доказательства того, что в заданной автоматической системе характер переходного процесса зависит от точки приложения входного воздействия. В основе приложения должен лежать аналитический подход.



$$W_3(p) = \frac{W_2 W_3}{1 + W_1 W_2 W_3} = \frac{k_2 k_3 (T_1 p + 1)}{(T_1 p + 1) p (T_3 p + 1) + k_1 k_2 k_3}$$

$$y_{уст} = \frac{b_0}{a_0} = \frac{k_2 k_3}{k_1 k_2 k_3} = \frac{1}{k_1} = 0,3077 \neq 1$$



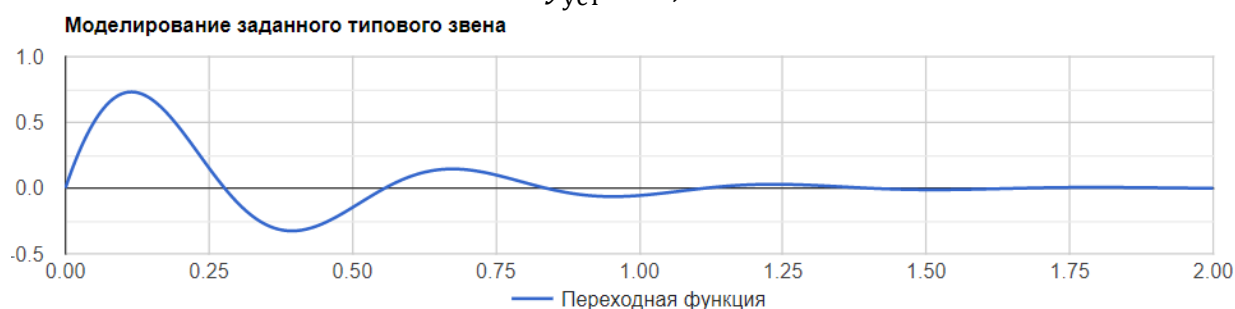
$$W_3(p) = \frac{W_1 W_3}{1 + W_1 W_2 W_3} = \frac{k_1 k_3 p}{(T_1 p + 1)p(T_3 p + 1) + k_1 k_2 k_3}$$

$$y_{уст} = \frac{b_0}{a_0} = \frac{0}{k_1 k_2 k_3} = 0 \neq 1$$

10. Результаты моделирования, подтверждающие доказательство предыдущего пункта 9.



$$y_{уст} = 0,308$$



$$y_{уст} = 0$$

11. Зависимости

$$\Delta_{cm}\left(\frac{k_1}{k_{1зад}}\right), \quad t_p\left(\frac{k_1}{k_{1зад}}\right), \\ t_n\left(\frac{k_1}{k_{1зад}}\right), \sigma\left(\frac{k_1}{k_{1зад}}\right), \Delta_{cm}\left(\frac{T_3}{T_{3зад}}\right), t_p\left(\frac{T_3}{T_{3зад}}\right), t_n\left(\frac{T_3}{T_{3зад}}\right), \sigma\left(\frac{T_3}{T_{3зад}}\right)$$

t_p – время регулирования
 t_n – время нарастания
 $\Delta_{\text{ст}}$ – статическая погрешность
 σ – перерегулирование

$$W_3 = \frac{W_1 W_2 W_3}{1 + W_1 W_2 W_3} = \frac{k_1 k_2 k_3}{(T_1 p + 1)p(T_3 p + 1) + k_1 k_2 k_3}$$

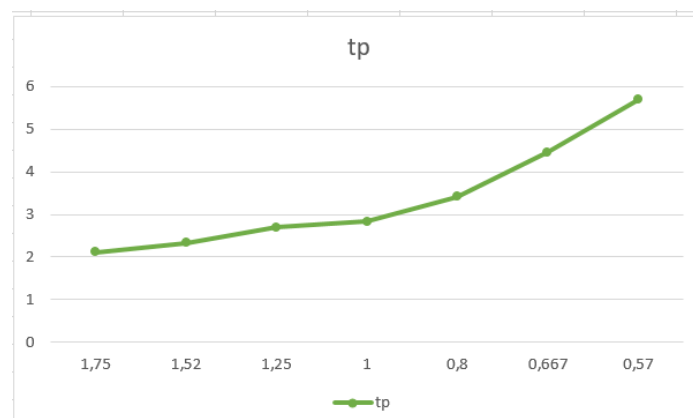
$$y_{\text{уст}} = \frac{b_0}{a_0} = \frac{k_1 k_2 k_3}{k_1 k_2 k_3} = 1$$

$$\Delta_{\text{ст}} = \frac{|y_{\text{уст}} - g(t)|}{g(t)} = 0$$

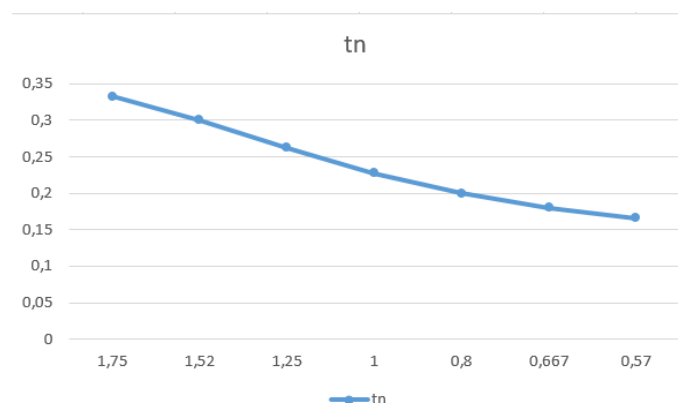
$\Delta_{\text{ст}}$ никак не изменится, даже если мы будем менять k_1 или T_3 .

k1:

$$t_p \left(\frac{k_1}{k_{1\text{зад}}} \right)$$

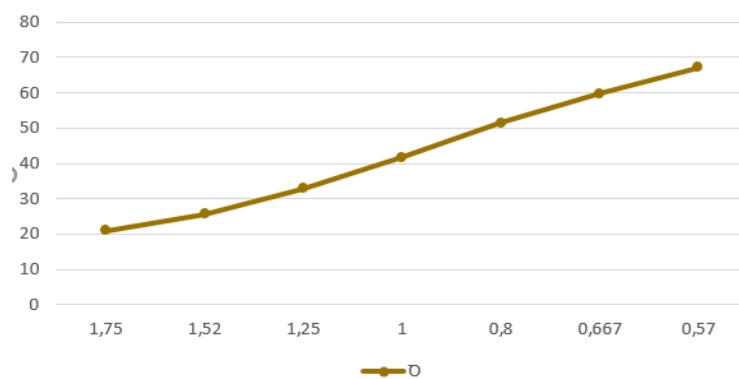


$$t_n \left(\frac{k_1}{k_{1\text{зад}}} \right)$$



$$\sigma\left(\frac{k_1}{k_{13ад}}\right) = \left(\frac{y_{max} - y_{уст}}{y_{уст}}\right) 100\%$$

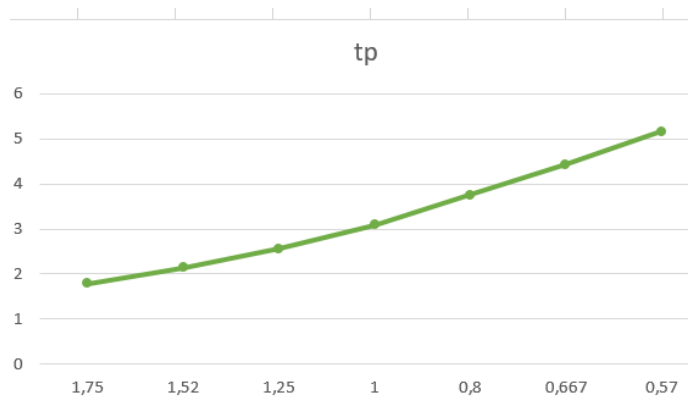
σ



t3:

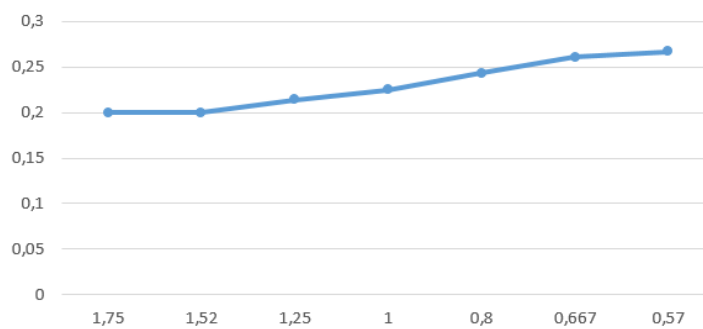
$$t_p\left(\frac{t_3}{t_{3ад}}\right)$$

tp

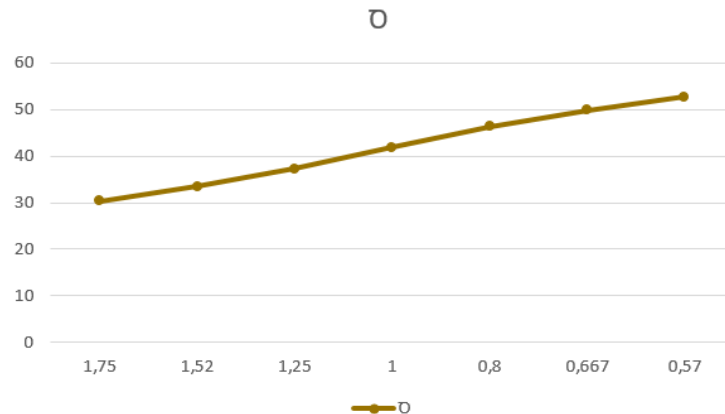


$$t_n\left(\frac{t_3}{t_{3ад}}\right)$$

tn



$$\sigma \left(\frac{t_3}{t_{3\text{зад}}} \right) = \left(\frac{y_{\text{max}} - y_{\text{уст}}}{y_{\text{уст}}} \right) 100\%$$



12. Объяснения характера построенных зависимостей в предыдущем пункте 11.

Так как система обладает астатизмом 1-го порядка, статическая погрешность $\Delta_{\text{ст}}$ никак не изменится, даже если мы будем менять коэффициент усиления k_1 или постоянную времени T_3 .

Однако, при увеличении коэффициент усиления k_1 , увеличивается время регулирования t_p и перерегулирование σ , а время нарастания t_n уменьшается.

При увеличении постоянной времени T_3 , отвечающая за инерционность системы, поэтому время регулирования t_p , время нарастания t_n и перерегулирование σ увеличиваются.

13. Листинг

```
<script type="text/javascript" src="https://www.gstatic.com/charts/loader.js"></script>
<script type="text/javascript">google.charts.load('current', {'packages':['corechart']});
google.charts.setOnLoadCallback(drawChart);
function drawChart(){
var dt=0.001;
var T1= 0.025;

<script type="text/javascript" src="https://www.gstatic.com/charts/loader.js"></script>
<script type="text/javascript">google.charts.load('current', {'packages':['corechart']});
google.charts.setOnLoadCallback(drawChart);
function drawChart(){
var dt=0.001;
var T1= 0.025;
var T3= 0.1;
var K1= 3.25;
```

```

var K2= 3.5;
var K3= 1.3;
var k11,k12,k13,k14;
var z11;
var z12;
var z1;
var I, hb, lb, dct;

var x1,y01, y1, y11, y12, t,ymax,perereg;
var g1 = 1, f1 = 0, f2 = 0;//koc = 0.889;
y01=0;y1=0; y11=0; y12=0; ymax=0;perereg=0;
z11=0;
z12=0;
z1=0;
I=0; hb=1.05; lb=0.95;dct=1;
var err =g1;

t=0;
var A=new Array(['t', 'y(t)','x(t)',T]);//, 'T','+погрешность','-погрешность', 'dct'
var i=1;
while(t < 5){
A[i]=[t,y1,err,I];//,I, hb, lb, dct

////////////////////////////////////1
if (y1 > ymax){
    ymax=y1;}

g1=1;
x1=g1-y01;

k11=dt*(K1/T1*x1-1/T1*y11);
k12=dt*(K1/T1*x1-1/T1*(y11 + k11/2));
k13=dt*(K1/T1*x1-1/T1*(y11 + k12/2));
k14=dt*(K1/T1*x1-1/T1*(y11 + k13));
z11=z11+1/6*(k11 + 2*k12 + 2*k13 + k14);
y11=z11 ;

k11=dt*(K2*(y11 + f1));//-y12);
k12=dt*(K2*(y11 + f1));/-(y12 + k11/2));
k13=dt*(K2*(y11 + f1));/-(y12 + k12/2));
k14=dt*(K2*(y11 + f1));/-(y12 + k13));
z12=z12+1/6*(k11 + 2*k12 + 2*k13 + k14);
y12=z12 ;

k11=dt*(K3/T3*(y12 + f2)-1/T3*y1);

```

```

k12=dt*(K3/T3*(y12 + f2)-1/T3*(y1 + k11/2));
k13=dt*(K3/T3*(y12 + f2)-1/T3*(y1 + k12/2));
k14=dt*(K3/T3*(y12 + f2)-1/T3*(y1 + k13));
z1=z1+1/6*(k11 + 2*k12 + 2*k13 + k14);
y1=z1 ;
y01=y1;

//dct=Math.abs(y1 - 1)/1;
//I=Math.abs(1 - y1);
I = I + dt*(1-y1)*(1-y1);
err=1-y01;
//I = I + Math.sqrt(Math.abs(0.9-y1))*dt;

t=t+dt;
i++;
}
//perereg=(ymax - 1)/1*100;
//alert(perereg);
var data = google.visualization.arrayToDataTable(A);
var options = {
  title: 'Моделирование заданного типового звена',
  curveType: 'function',
  hAxis: {
    title: 't'
  },
  vAxis: {
    title: 'h(t), w(t), g(t)'
  },
  legend: { position: 'bottom' }
};
var chart = new google.visualization.LineChart(document.getElementById('curve_chart2'));
chart.draw(data, options);
}
</script>
<div id="curve_chart2" style="width: 1400px; height: 550px"></div>

```